

## 第五章 规则金属波导

### 5.1 矩形波导

规则金属波导——具有各种形状的截面、无限长的直的空心金属管。

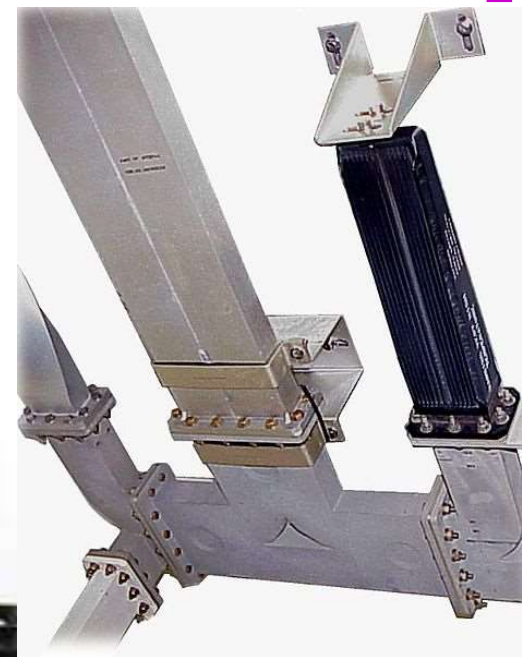
- 矩形波导
- 圆波导
- 椭圆波导
- 脊形波导等

横向结构和尺寸沿管轴方向（电磁波传播方向）不变。



都长啥样？

2



a diplexer in an air traffic control radar



空间无源条件下满足：

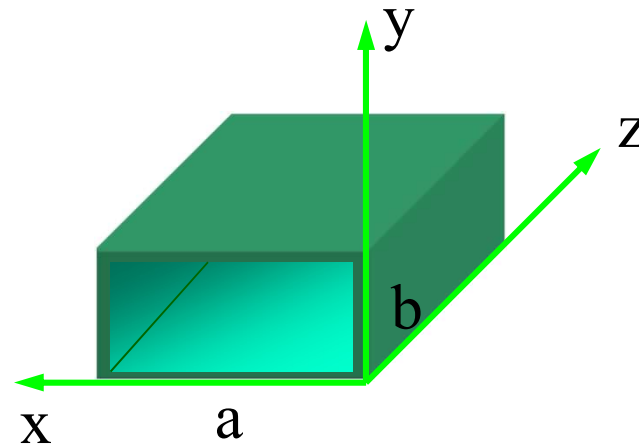
$$\begin{cases} \nabla^2 \mathbf{E} + k^2 \mathbf{E} = 0 \\ \nabla^2 \mathbf{H} + k^2 \mathbf{H} = 0 \end{cases}$$

式中  $k^2 = \omega^2 \mu \varepsilon$

在管壁上的边界条件

（电场切向连续，磁场法向连续）：

$$\begin{cases} E_y = E_z = B_x = 0 & (x = 0, a) \\ E_x = E_z = B_y = 0 & (y = 0, b) \end{cases}$$



假设波导管内电磁场的强度为：

（沿z方向前进的波）

$$\begin{cases} \mathbf{E} = \mathbf{E}(x, y) \exp[j(\omega t - k_z z)] \\ \mathbf{H} = \mathbf{H}(x, y) \exp[j(\omega t - k_z z)] \end{cases}$$

$$\begin{aligned} \mathbf{E} &= E_x(x, y)\mathbf{e}_x + E_y(x, y)\mathbf{e}_y + E_z(x, y)\mathbf{e}_z \\ \mathbf{H} &= H_x(x, y)\mathbf{e}_x + H_y(x, y)\mathbf{e}_y + H_z(x, y)\mathbf{e}_z \end{aligned}$$

$$\nabla \times \mathbf{E} = -\frac{\partial \mathbf{B}}{\partial t}; \quad \nabla \times \mathbf{H} = \frac{\partial \mathbf{D}}{\partial t}$$



$$\begin{cases} \frac{\partial E_z}{\partial y} + jk_z E_y = -j\omega \mu H_x \\ -jk_z E_x - \frac{\partial E_z}{\partial x} = -j\omega \mu H_y \\ \frac{\partial E_y}{\partial x} - \frac{\partial E_x}{\partial y} = -j\omega \mu H_z \end{cases}$$

$$\begin{cases} \frac{\partial H_z}{\partial y} + jk_z H_y = j\omega \varepsilon E_x \\ -jk_z H_x - \frac{\partial H_z}{\partial x} = j\omega \varepsilon E_y \\ \frac{\partial H_y}{\partial x} - \frac{\partial H_x}{\partial y} = j\omega \varepsilon E_z \end{cases}$$

解出电磁场x, y方向的分量:

式中:

$$k_c^2 = (jk_z)^2 + \omega^2 \mu \varepsilon = k^2 - k_z^2$$

$$\begin{cases} E_x = -\frac{j}{k_c^2} \left( k_z \frac{\partial E_z}{\partial x} + \omega \mu \frac{\partial H_z}{\partial y} \right) \\ E_y = -\frac{j}{k_c^2} \left( k_z \frac{\partial E_z}{\partial y} - \omega \mu \frac{\partial H_z}{\partial x} \right) \\ H_x = -\frac{j}{k_c^2} \left( -\omega \varepsilon \frac{\partial E_z}{\partial y} + k_z \frac{\partial H_z}{\partial x} \right) \\ H_y = -\frac{j}{k_c^2} \left( \omega \varepsilon \frac{\partial E_z}{\partial x} + k_z \frac{\partial H_z}{\partial y} \right) \end{cases}$$

六个分量方程

$$\nabla^2 \mathbf{E} = \nabla_{xy}^2 \mathbf{E} + \frac{\partial^2 \mathbf{E}}{\partial z^2} = -k^2 \mathbf{E} = \nabla_{xy}^2 \mathbf{E} + (jk_z)^2 \mathbf{E}$$



$$\nabla_{xy}^2 \mathbf{E} + k_c^2 \mathbf{E} = 0$$

$$\nabla_{xy}^2 \mathbf{H} + k_c^2 \mathbf{H} = 0$$



# 1. 横电波：TE波 ( $E_z = 0$ )

$$\frac{\partial^2 H_z}{\partial x^2} + \frac{\partial^2 H_z}{\partial y^2} = -k_c^2 H_z$$

用分离变量法，令  $H_z = X(x)Y(y)$  :

$$YX'' + XY'' = -k_c^2 XY$$

$$\frac{X''}{X} + \frac{Y''}{Y} = -k_c^2$$

令 :

$$\begin{cases} \frac{X''}{X} = -k_x^2 \\ \frac{Y''}{Y} = -k_y^2 \end{cases}$$

$$k_x^2 + k_y^2 = k_c^2$$

$$\begin{cases} X = C_1 \cos k_x x + C_2 \sin k_x x \\ Y = C_3 \cos k_y y + C_4 \sin k_y y \end{cases}$$

系数  $C_1$ 、 $C_2$ 、 $C_3$  和  $C_4$  可由边值关系确定。

$$\begin{cases} \text{在 } x=0, a \text{ 处 } E_y = 0 \text{ 即 } \frac{\partial H_z}{\partial x} = 0 \\ \text{在 } y=0, b \text{ 处 } E_x = 0 \text{ 即 } \frac{\partial H_z}{\partial y} = 0 \end{cases}$$

$$H_z = XY = (C_1 \cos k_x x + C_2 \sin k_x x)(C_3 \cos k_y y + C_4 \sin k_y y)e^{j(\omega t - k_z z)}$$

$$C_2 = C_4 = 0$$

$$\begin{cases} \frac{\partial H_z}{\partial x} = (C_2 k_x \cos k_x x - C_1 k_x \sin k_x x)(C_3 \cos k_y y + C_4 \sin k_y y)e^{j(\omega t - k_z z)} \\ \frac{\partial H_z}{\partial y} = (C_1 \cos k_x x + C_2 \sin k_x x)(C_4 k_y \cos k_y y - C_3 k_y \sin k_y y)e^{j(\omega t - k_z z)} \end{cases}$$



$$\begin{cases} k_x = \frac{m\pi}{a} \\ k_y = \frac{n\pi}{b} \end{cases}$$



式中  $m, n$  分别为  $0, 1, 2, 3 \dots$ ，**但不可同时为零**，否则就无电磁场。

矩形波导中的横电波：  
(电磁场复振幅)  $TE_{mn}$

$$\left\{ \begin{array}{l} H_z = H_0 \cos k_x x \cos k_y y \\ H_x = j \frac{k_x k_z}{k_c^2} H_0 \sin k_x x \cos k_y y \\ H_y = j \frac{k_y k_z}{k_c^2} H_0 \cos k_x x \sin k_y y \\ E_x = j \frac{\omega \mu k_y}{k_c^2} H_0 \cos k_x x \sin k_y y \\ E_y = -j \frac{\omega \mu k_x}{k_c^2} H_0 \sin k_x x \cos k_y y \end{array} \right.$$

横电式

$$k_c^2 = k_x^2 + k_y^2 = \left( \frac{m\pi}{a} \right)^2 + \left( \frac{n\pi}{b} \right)^2 = \omega^2 \mu \epsilon - k_z^2$$

$$k_z = \sqrt{\omega^2 \mu \epsilon - \left[ \left( \frac{m\pi}{a} \right)^2 + \left( \frac{n\pi}{b} \right)^2 \right]}$$

## 2. 横磁波：TM波 ( $H_z = 0$ )



TM<sub>mn</sub>

$$\left\{ \begin{array}{l} E_z = E_0 \sin k_x x \sin k_y y \\ E_x = -j \frac{k_x k_z}{k_c^2} E_0 \cos k_x x \sin k_y y \\ E_y = -j \frac{k_y k_z}{k_c^2} E_0 \sin k_x x \cos k_y y \\ H_x = j \frac{\omega \varepsilon k_y}{k_c^2} E_0 \sin k_x x \cos k_y y \\ H_y = -j \frac{\omega \varepsilon k_x}{k_c^2} E_0 \cos k_x x \sin k_y y \end{array} \right.$$

不存在TM<sub>0n</sub>或TM<sub>m0</sub>型波，因为这时：

$$E_z = H_z = 0$$

式中

$$k_x = \frac{m\pi}{a}, k_y = \frac{n\pi}{b}, k_c^2 = \omega^2 \mu \varepsilon - k_z^2 = \left( \frac{m\pi}{a} \right)^2 + \left( \frac{n\pi}{b} \right)^2$$

$$k_z = \sqrt{\omega^2 \mu \varepsilon - \left[ \left( \frac{m\pi}{a} \right)^2 + \left( \frac{n\pi}{b} \right)^2 \right]}$$

当 $k_z$ 为实数时，电磁波能无衰减通过

$$\omega^2 \mu \varepsilon > \left[ \left( \frac{m\pi}{a} \right)^2 + \left( \frac{n\pi}{b} \right)^2 \right]$$

$$k_z = k \sqrt{1 - \frac{f_c^2}{f^2}}$$

截止频率：

$$f_c = \frac{1}{2\pi} \sqrt{\frac{\left( \frac{m\pi}{a} \right)^2 + \left( \frac{n\pi}{b} \right)^2}{\mu \varepsilon}}$$

$$f \geq f_c$$





截止波长:

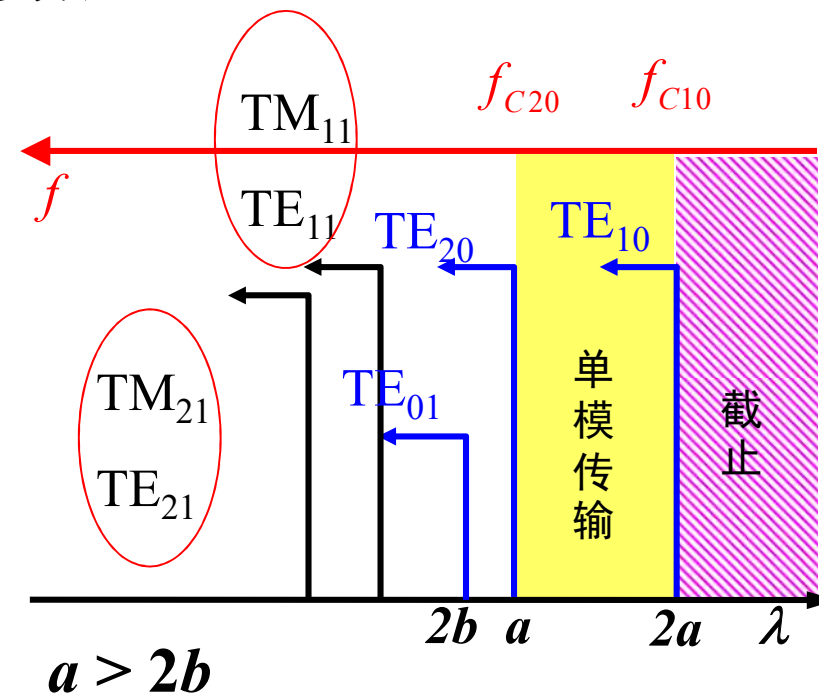
$$\lambda_c = \frac{v}{f_c} = \frac{1}{f_c \sqrt{\mu\epsilon}} = \frac{2\pi}{k_c} = \frac{2\pi}{\sqrt{\left(\frac{m\pi}{a}\right)^2 + \left(\frac{n\pi}{b}\right)^2}}$$

$$\lambda \leq \lambda_c$$

由  $k_z = \frac{2\pi}{\lambda_g}$  可求得波导波长  $\lambda_g$  :

$$\lambda_g = \frac{\lambda}{\sqrt{1 - \left(\frac{\lambda}{\lambda_c}\right)^2}}$$

式中  $\lambda = \frac{v}{f}$  为电磁波在无限介质中的波长。





例：试计算以TE模式在矩形波导中传播的电磁波的群速与相速。

解：群速和相速分别是  $v_g = \left. \frac{d\omega}{dk} \right|_{\omega_0}$  和  $v_p = \left. \frac{\omega}{k} \right|_{\omega_0}$ ，当电磁波沿z方向传播时，真正的波矢量是  $k_z$ 。将等式  $k_z^2 = \omega^2 \mu \epsilon - \left[ \left( \frac{m\pi}{a} \right)^2 + \left( \frac{n\pi}{b} \right)^2 \right]$  对  $\omega$  取微分，得到

$k_z dk_z = \mu \epsilon \omega d\omega$  所以

$$v_g = \left. \frac{d\omega}{dk_z} \right|_{\omega_0} = \left. \frac{k_z}{\omega \mu \epsilon} \right|_{\omega_0} = \frac{\sqrt{\omega_0^2 \mu \epsilon - \left[ \left( \frac{m\pi}{a} \right)^2 + \left( \frac{n\pi}{b} \right)^2 \right]}}{\omega_0 \mu \epsilon} = \frac{v}{\omega_0} \sqrt{\omega_0^2 - \left[ \left( \frac{m\pi}{a} \right)^2 + \left( \frac{n\pi}{b} \right)^2 \right] v^2} < v$$

$$v_p = \left. \frac{\omega}{k_z} \right|_{\omega_0} = \frac{\omega_0}{\sqrt{\omega_0^2 \mu \epsilon - \left[ \left( \frac{m\pi}{a} \right)^2 + \left( \frac{n\pi}{b} \right)^2 \right]}} = \frac{\omega_0 v}{\sqrt{\omega_0^2 - \left[ \left( \frac{m\pi}{a} \right)^2 + \left( \frac{n\pi}{b} \right)^2 \right] v^2}} > v$$

从上两式很容易看出： $v_g v_p = v^2$



## TE<sub>10</sub>型主型波

1. 场结构      电力线和磁力线方程：

$$\begin{cases} \frac{dx}{E_x} = \frac{dy}{E_y} = \frac{dz}{E_z} \\ \frac{dx}{H_x} = \frac{dy}{H_y} = \frac{dz}{H_z} \end{cases}$$

TE<sub>10</sub>的场分量：

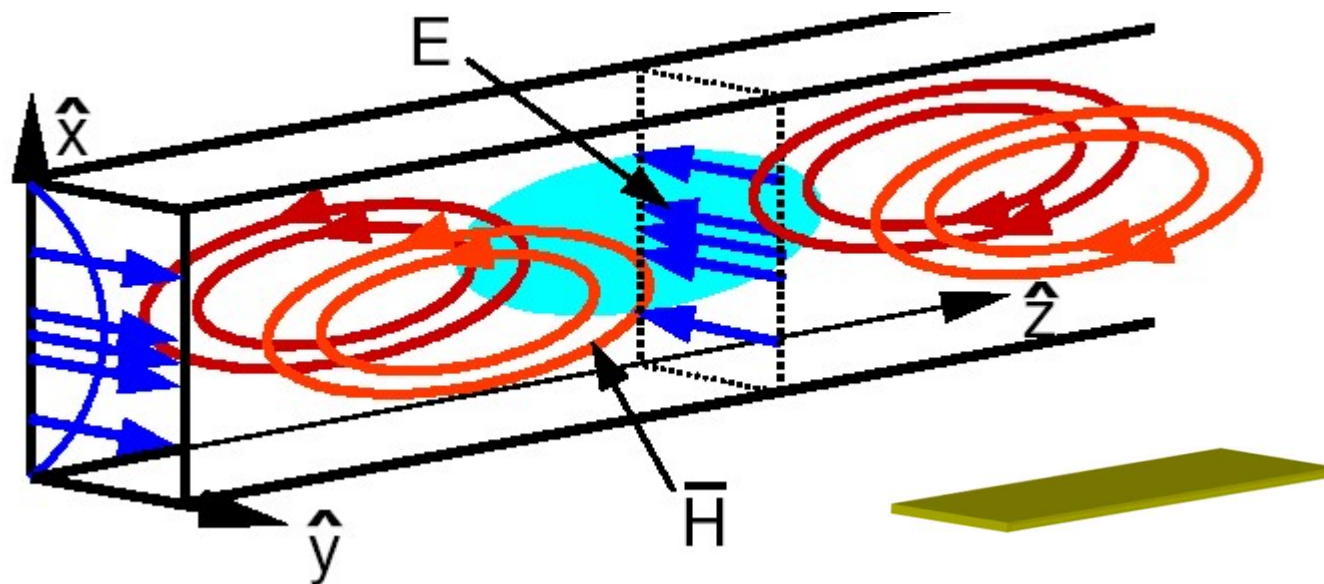
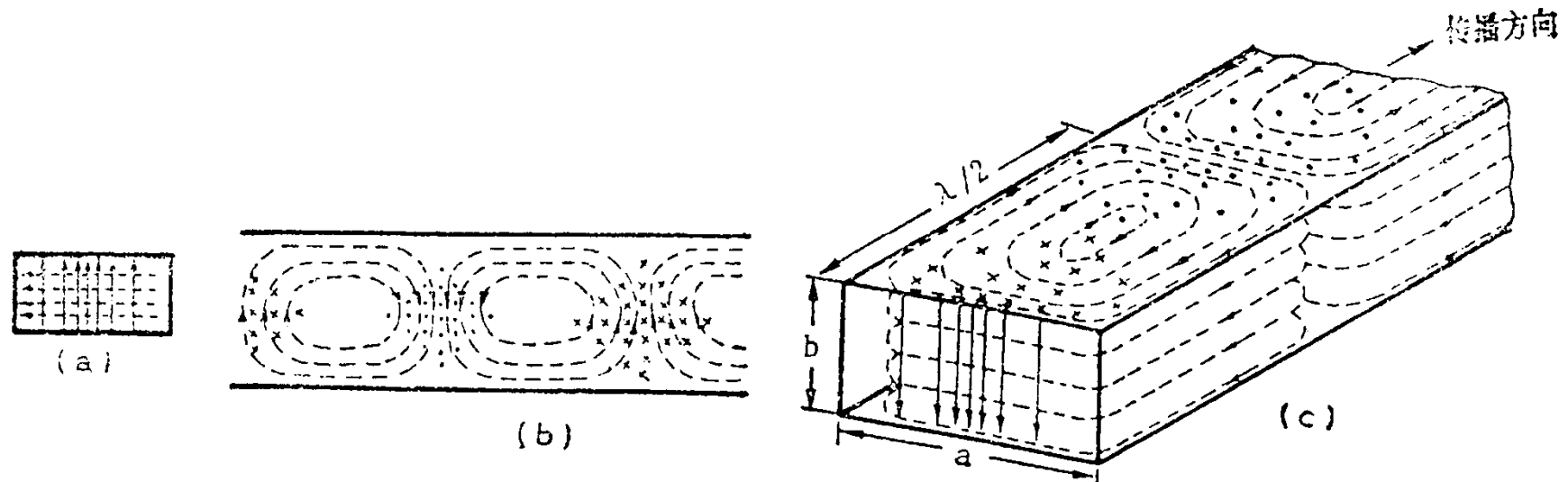
$$E_x = H_y = E_z = 0$$

$$E_y = -\frac{j\omega\mu a}{\pi} H_0 e^{j(\omega t - k_z z)} \sin \frac{\pi x}{a}$$

$$H_x = \frac{jk_z a}{\pi} H_0 e^{j(\omega t - k_z z)} \sin \frac{\pi x}{a}$$

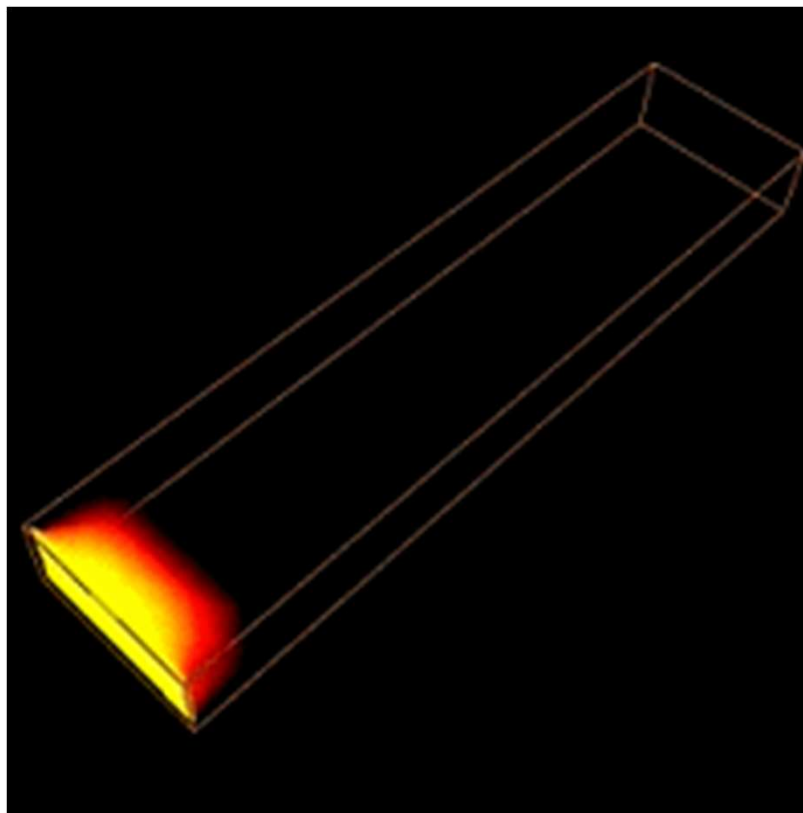
$$H_z = H_0 e^{j(\omega t - k_z z)} \cos \frac{\pi x}{a}$$

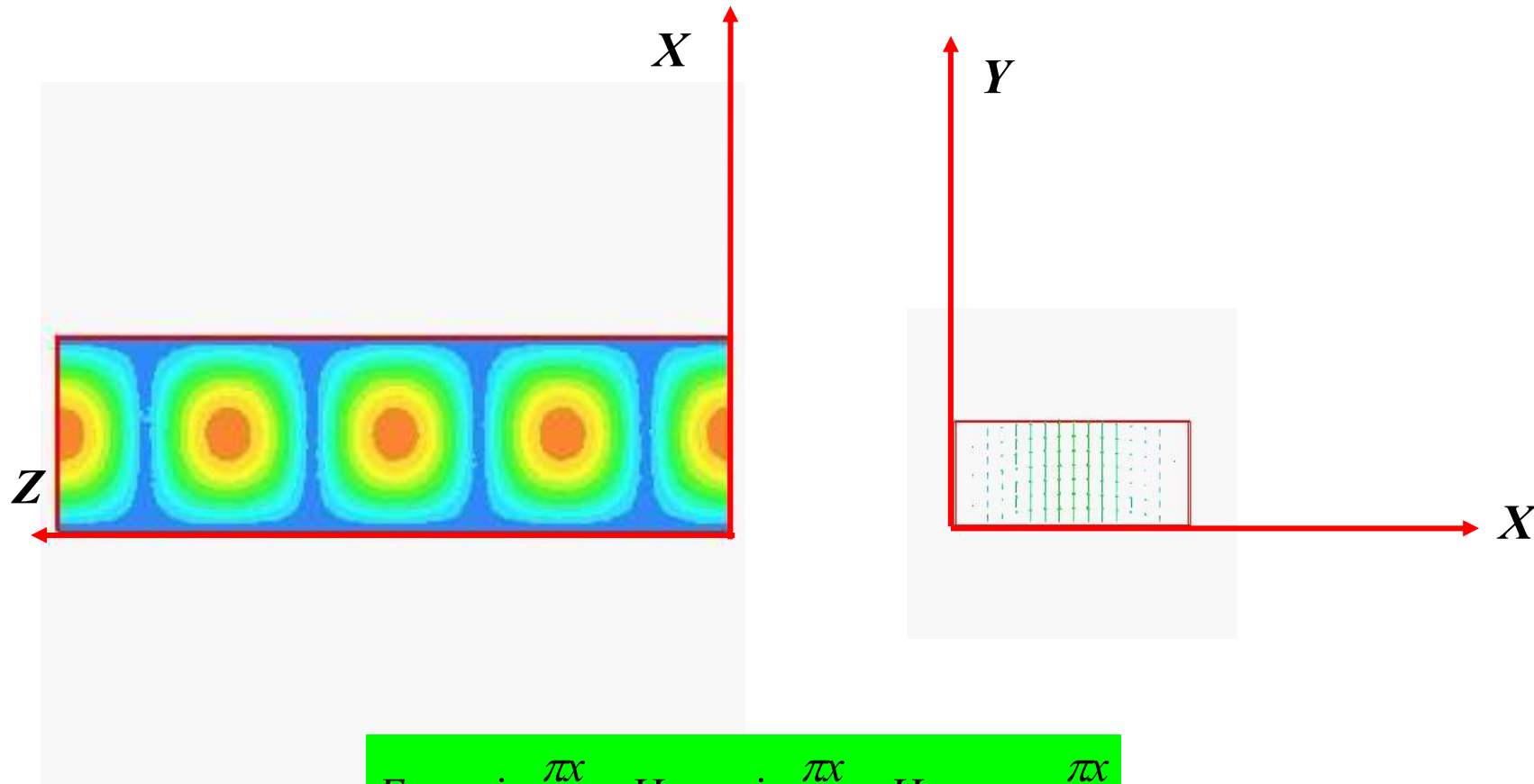




衰减片







$$E_y \sim \sin \frac{\pi x}{a}, H_x \sim \sin \frac{\pi x}{a}, H_z \sim \cos \frac{\pi x}{a}$$

$$E_y \sim \cos(\omega t - k_z z - \frac{\pi}{2}), H_x \sim \cos(\omega t - k_z z + \frac{\pi}{2}), H_z \sim \cos(\omega t - k_z z)$$



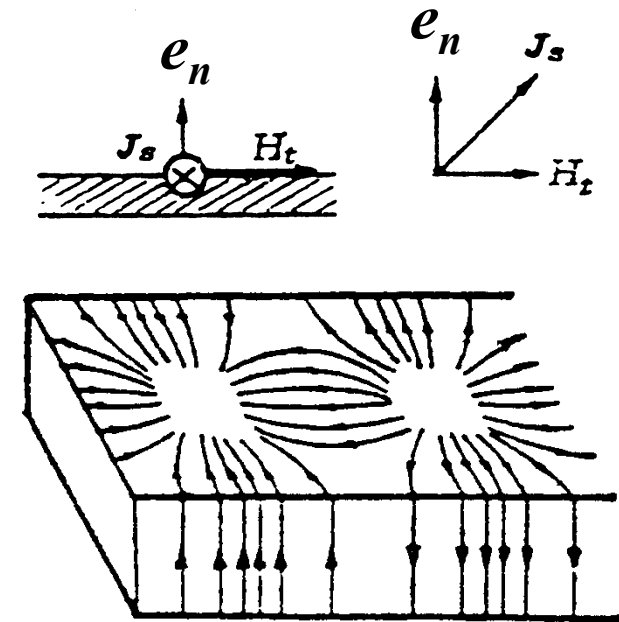
## 2. 壁电流分布

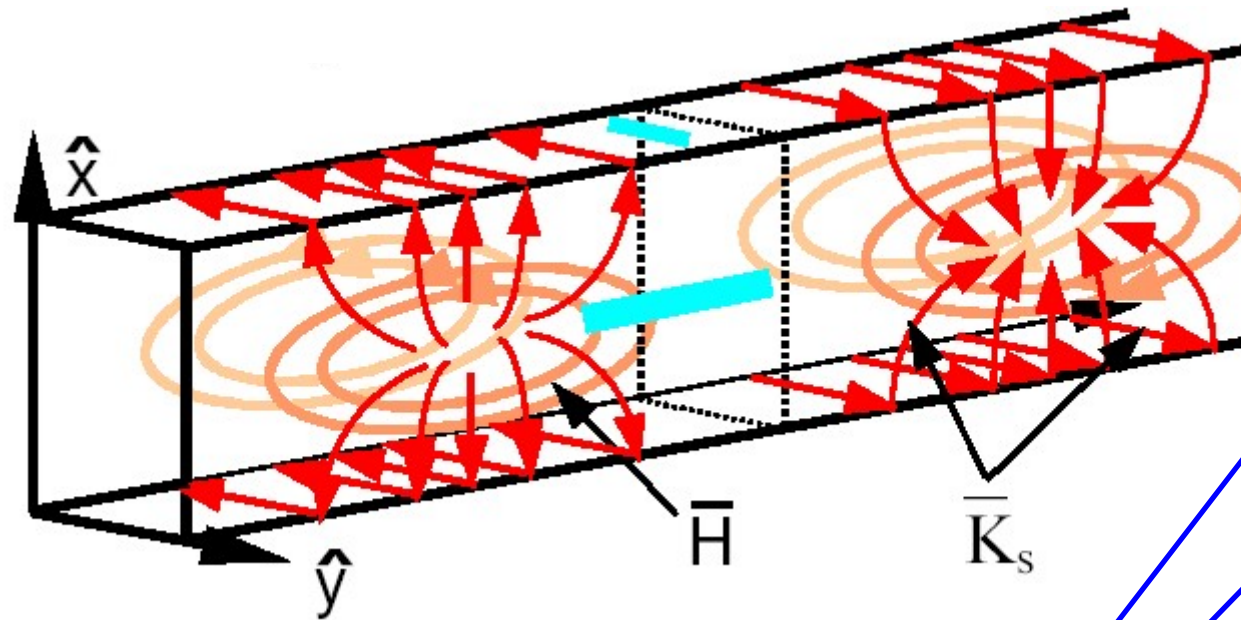
波导壁是良导体，在微波波段趋肤深度极小 ( $\sim 1\mu\text{m}$ )，可看做面电流。

$$\mathbf{i}_S = \mathbf{e}_n \times \mathbf{H}$$

面电流密度：
 
$$\begin{cases} i_y = -H_z|_{x=0} = -H_0 e^{j(\omega t - k_z z)}, i_z = 0 & \text{在 } x=0 \text{ 处 } \mathbf{e}_n = \mathbf{e}_x \\ i_y = H_z|_{x=a} = H_0 e^{j(\omega t - k_z z)}, i_z = 0 & \text{在 } x=a \text{ 处 } \mathbf{e}_n = -\mathbf{e}_x \end{cases}$$

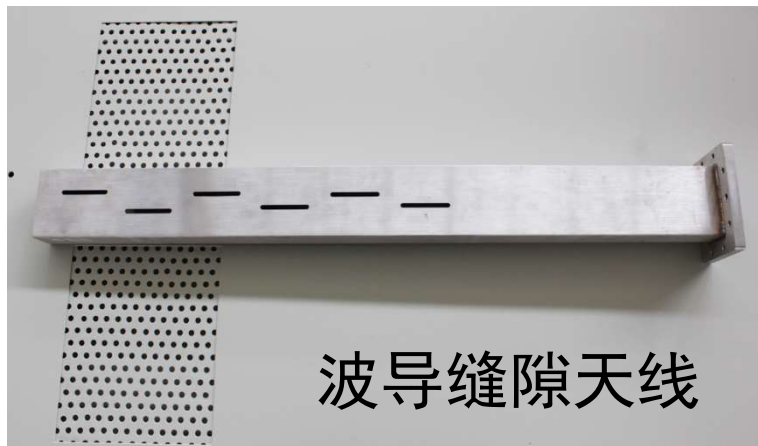
$$\begin{cases} \text{在 } y=0 \text{ 处 } \mathbf{e}_n = \mathbf{e}_y \\ i_x = H_z|_{y=0} = H_0 e^{j(\omega t - k_z z)} \cos \frac{\pi x}{a} \\ i_z = -H_x|_{y=0} = \frac{jk_z a}{\pi} H_0 e^{j(\omega t - k_z z)} \sin \frac{\pi x}{a} \\ \text{在 } y=b \text{ 处 } \mathbf{e}_n = -\mathbf{e}_y \\ i_x = -H_z|_{y=b} = -H_0 e^{j(\omega t - k_z z)} \cos \frac{\pi x}{a} \\ i_z = H_x|_{y=b} = \frac{jk_z a}{\pi} H_0 e^{j(\omega t - k_z z)} \sin \frac{\pi x}{a} \end{cases}$$



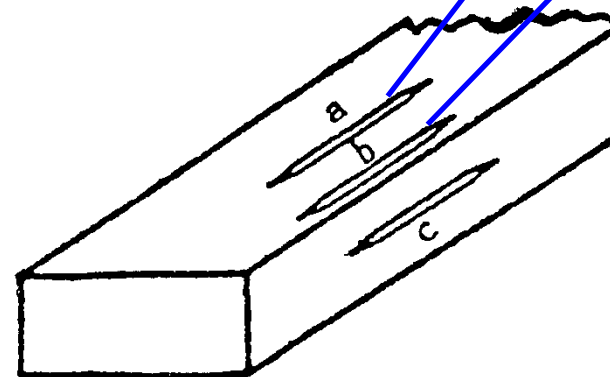


开槽

裂缝天线

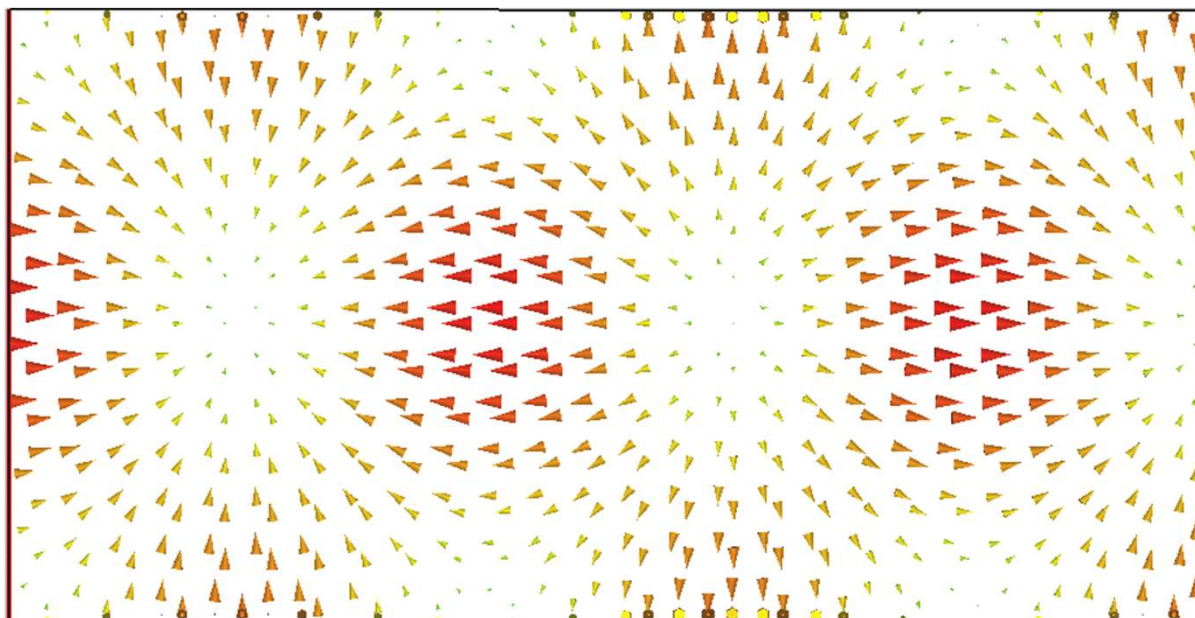


波导缝隙天线





## 矩形波导宽边上面电流分布



### 3. 传输功率和功率容量

传输功率为 
$$P = \frac{1}{2} \operatorname{Re} \int_{x=0}^a \int_{y=0}^b (\mathbf{E} \times \mathbf{H}^*) \cdot \mathbf{e}_z \, dy dx = -\frac{1}{2} \operatorname{Re} \int_{x=0}^a \int_{y=0}^b E_y H_x^* \, dy dx$$

TE<sub>10</sub> 模的 
$$k_c = \pi/a, \quad k_z = \sqrt{k^2 - \pi^2/a^2}$$

$$P = \frac{\omega \mu a^3 b}{4\pi^2} |H_0|^2 k_z$$

在宽壁中心 ( $x = a/2$ ) 处  $|E_y|$  达到最大值  $|E_0| = \omega \mu a H_0 / \pi$ ,

$$P = \frac{ab}{4\eta} \sqrt{1 - \left(\frac{\lambda}{2a}\right)^2} |E_0|^2$$

当  $|E_0| = E_{br}$  时

击穿功率:

$$P_{br}(\text{W}) = \frac{ab}{4\sqrt{\frac{\mu}{\varepsilon}}} \sqrt{1 - \left(\frac{\lambda}{2a}\right)^2} E_{br}^2$$

对空气填充波导,  $\sqrt{\mu/\varepsilon} = 120\pi$ ,  $E_{br} = 30 \text{ kV/cm}$ , 上式可改写为 
$$P_{br}(\text{MW}) = 0.6ab \sqrt{1 - \left(\frac{\lambda}{2a}\right)^2}$$

式中  $a$ 、 $b$  以厘米为单位, 而  $P_{br}$  的单位为兆瓦。一般, 波导的允许功率取为:

$$P_{\text{允许}} = \left(\frac{1}{3} \sim \frac{1}{5}\right) P_{br}$$

功率容量与尺寸、频率、介质有关。



#### 4. $TE_{10}$ 型模矩形波导的损耗

a. 介质损耗： 空气填充，可以忽略。

b. 导体损耗：  $P(z) = P_0 e^{-2\alpha z}$  单位长度的功率损耗：

$$P_l = -\frac{dP}{dz} = 2\alpha P$$

波导的衰减常数是：  $\alpha = \frac{P_l}{2P} \approx \frac{P_l}{2P_0}$

由于存在趋肤效应，可引入波导壁单位面积的表面电阻，为（在微带线中有详细推导）：

$$R_s = \frac{1}{\sigma \delta} = \sqrt{\frac{\omega \mu}{2\sigma}}$$

式中  $\delta = \sqrt{\frac{2}{\omega \mu \sigma}}$  是趋肤厚度

电流流过单位表面积导体损耗为  $\frac{1}{2} R_s |i_s|^2$

$$\begin{aligned} P_l &= \oint \frac{R_s}{2} |i_s|^2 dl = R_s \int_0^b |H_0|^2 dy + R_s \int_0^a |H_0|^2 \left( \cos^2 \frac{\pi x}{a} + \frac{k_z^2 a^2}{\pi^2} \sin^2 \frac{\pi x}{a} \right) dx \\ &= R_s |H_0|^2 \left( b + \frac{a}{2} + \frac{k_z^2 a^3}{2\pi^2} \right) \end{aligned}$$



$$\alpha_c (NP/m) = \frac{P_l}{2P_0} = \frac{2\pi^2 R_s \left( b + \frac{a}{2} + \frac{k_z^2 a^3}{2\pi^2} \right)}{\omega \mu a^3 b k_z} = \frac{R_s (2\pi^2 b + a^3 k^2)}{a^3 b k \eta k_z}$$

$$k_z = k \sqrt{1 - \left( \frac{\lambda}{2a} \right)^2}$$



$$\alpha_c = \frac{R_s \left[ 1 + \frac{2b}{a} \left( \frac{\lambda}{2a} \right)^2 \right]}{\eta b \sqrt{1 - \left( \frac{\lambda}{2a} \right)^2}}$$

损耗与波长、波导尺寸、波导壁材料等有关，通常取  $b/a \approx 1/2 \rightarrow \alpha_c \downarrow$ 。

主型波的衰减最小。

### 5. TE<sub>10</sub>型模矩形波导的等效阻抗

波导中的波阻抗定义为波导中横向电场分量与横向磁场分量之比，对

TE<sub>10</sub>型波：

$$Z_{TE_{10}} = \frac{\omega \mu}{k_z} = \frac{\sqrt{\frac{\mu}{\epsilon}}}{\sqrt{1 - \left( \frac{\lambda}{2a} \right)^2}}$$

它不能用来处理匹配问题。



和电路理论类似，波导的**等效阻抗**也有三种定义：

$$Z_e = \frac{U_e}{I_e}, \quad Z_e = \frac{U_e^2}{2P} \quad \text{或} \quad Z_e = \frac{2P}{I_e^2}$$

对矩形波导中的TE<sub>10</sub>型波，定义**等效电压**为波导宽边中心电场从顶边到底边的线积分：

$$U_e = \int_0^b |E_y|_{x=a/2} dy = \frac{\omega\mu abH_0}{\pi}$$

定义**等效电流**为波导的一个宽壁上总的纵向电流：

$$I_e = \int_0^a |i_z| dx = \int_0^a \frac{k_z a}{\pi} H_0 \sin \frac{\pi x}{a} dx = \frac{2a^2 k_z H_0}{\pi^2}$$

传输功率是：

$$P = \frac{ab}{4\eta} \sqrt{1 - \left(\frac{\lambda}{2a}\right)^2} \left(\frac{\omega\mu a H_0}{\pi}\right)^2$$

$$Z_e = \frac{U_e}{I_e} = \frac{\pi}{2} \frac{b}{a} \frac{\eta}{\sqrt{1 - \left(\frac{\lambda}{2a}\right)^2}}$$

$$Z_e = \frac{U_e^2}{2P} = 2 \frac{b}{a} \frac{\eta}{\sqrt{1 - \left(\frac{\lambda}{2a}\right)^2}}$$

$$Z_e = \frac{2P}{I_e^2} = \frac{\pi^2}{8} \frac{b}{a} \frac{\eta}{\sqrt{1 - \left(\frac{\lambda}{2a}\right)^2}}$$



在工程计算中，为了简化，常以与截面尺寸有关的部分作为公认的等效阻抗：

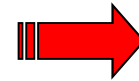
$$Z_e = \frac{b}{a} \frac{\eta}{\sqrt{1 - \left(\frac{\lambda}{2a}\right)^2}}$$

它可以用来处理匹配问题。

## 6. 矩形波导的截面尺寸的选择

保证它传输主模：

$$\begin{cases} a \\ 2b \end{cases} < \lambda < 2a$$



$$\begin{cases} \frac{\lambda}{2} < a < \lambda \\ 0 < b < \frac{\lambda}{2} \end{cases}$$

综合考虑抑制高次模、损耗小和传输功率大诸条件，矩形波导截面尺寸一般选为

$$\begin{cases} a = 0.7\lambda \\ b = (0.4 \sim 0.5)a \end{cases}$$

标准波导尺寸



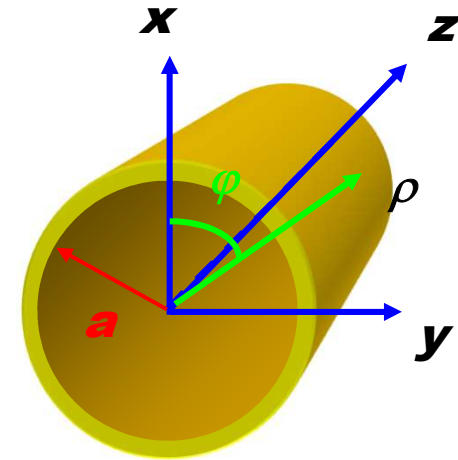
## 5.2 其他截面波导简介

### 1. 圆波导

采用柱坐标系来计算

圆波导与矩形波导类似，只能传横电波和横磁波。

$$\begin{cases} \mathbf{E}(\rho, \varphi, z, t) = [\mathbf{E}_T(\rho, \varphi) + E_z(\rho, \varphi)\mathbf{e}_z]e^{j(\omega t - k_z z)} \\ \mathbf{H}(\rho, \varphi, z, t) = [\mathbf{H}_T(\rho, \varphi) + H_z(\rho, \varphi)\mathbf{e}_z]e^{j(\omega t - k_z z)} \end{cases}$$



考虑电磁波波动方程的z分量，得：

纵向场  $E_z$  和  $H_z$  在圆波导内满足齐次波动方程：

$$\nabla_{\rho\varphi}^2 E_z + k_c^2 E_z = 0$$

$$\nabla_{\rho\varphi}^2 H_z + k_c^2 H_z = 0$$

分别考虑只存在横向电场的横电波（ $E_z = 0$ ）和只存在横向磁场的横磁波（ $H_z = 0$ ）在柱坐标中表示为：

对横磁波TM  $\Rightarrow$  
$$\frac{\partial^2 E_z}{\partial \rho^2} + \frac{1}{\rho} \frac{\partial E_z}{\partial \rho} + \frac{1}{\rho^2} \frac{\partial^2 E_z}{\partial \varphi^2} + k_c^2 E_z = 0$$





$$\frac{\partial^2 E_z}{\partial \rho^2} + \frac{1}{\rho} \frac{\partial E_z}{\partial \rho} + \frac{1}{\rho^2} \frac{\partial^2 E_z}{\partial \varphi^2} + k_c^2 E_z = 0$$

$$k_c^2 = k^2 - k_z^2 = \omega^2 \mu \varepsilon - k_z^2$$

利用分离变量法，设  $E_z(\rho, \varphi) = P(\rho)\Phi(\varphi)$ ，得：

$$\frac{d^2 \Phi}{d\varphi^2} + m^2 \Phi = 0$$



$$\Phi = C_1 \cos m \varphi + C_2 \sin m \varphi$$

$$\Phi = C \cos(m\varphi + \varphi_0)$$

圆对称结构要求：m为整数

合理选择坐标轴使  $\varphi_0 = 0$

$$\frac{d^2 P}{d\rho^2} + \frac{1}{\rho} \frac{dP}{d\rho} + \left( k_c^2 - \frac{m^2}{\rho^2} \right) P = 0$$

$$\frac{d^2 P}{d\rho^2} + \frac{1}{\rho} \frac{dP}{d\rho} + \left( k_c^2 - \frac{m^2}{\rho^2} \right) P = 0$$



贝塞尔方程，通解为：

$$P = A J_m(k_c \rho) + A' N_m(k_c \rho)$$



Bessel方程和函数：

$$\frac{d^2 f}{d\rho^2} + \frac{1}{\rho} \frac{df}{d\rho} + \left( \mu^2 - \frac{m^2}{\rho^2} \right) f = 0$$

通解为：

$$f(x) = AJ_m(x) + BN_n(x)$$

$$x = \mu\rho$$

$$x = k_c \rho$$

第一类贝塞尔函数

第二类贝塞尔函数（诺以曼函数）

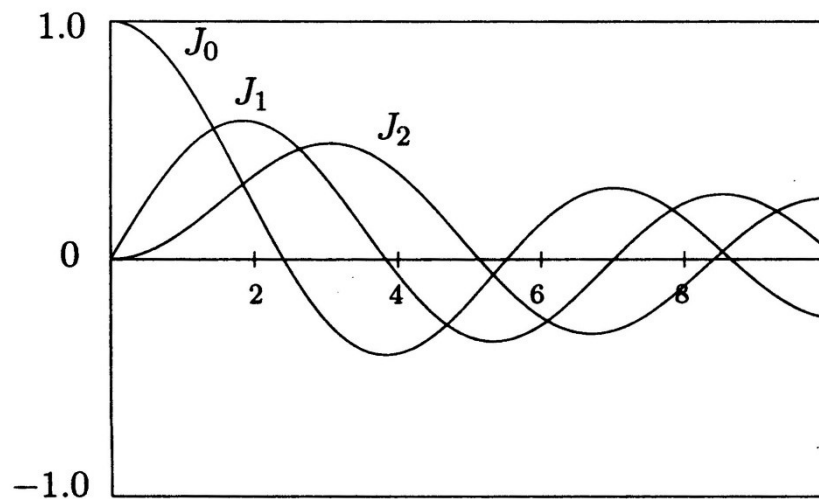


Figure 3.5.17 Bessel functions.

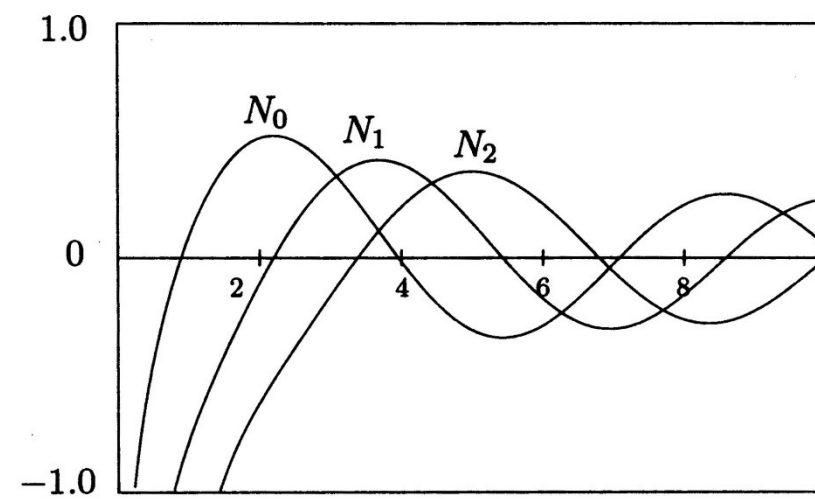


Figure 3.5.19 Neumann functions.



考虑圆波导的具体情况和边界条件  $\rho = a, E_z = 0$  ,  $E_z = E_0 J_m(k_c \rho) \cos m \varphi e^{j(\omega t - k_z z)}$

$$J_m(k_c a) = 0$$



$$k_c = \frac{x_{mn}}{a}$$

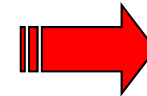
不同的  $x_{mn}$  相应于不同的  $TM_{mn}$  波

TE波:

$$H_z = H_0 J_m(k_c \rho) \begin{cases} \sin m \varphi \\ \cos m \varphi \end{cases} e^{j(\omega t - k_z z)}$$

$$E_\varphi = 0, \frac{\partial H_z}{\partial \rho} = 0$$

$$J'_m(k_c a) = 0$$



$$k_c = \frac{x'_{mn}}{a}$$

$$k_z = \sqrt{\omega^2 \mu \epsilon - k_c^2}$$

$$f_c = \frac{k_c}{2\pi \sqrt{\mu \epsilon}}$$

圆波导的主要结果:

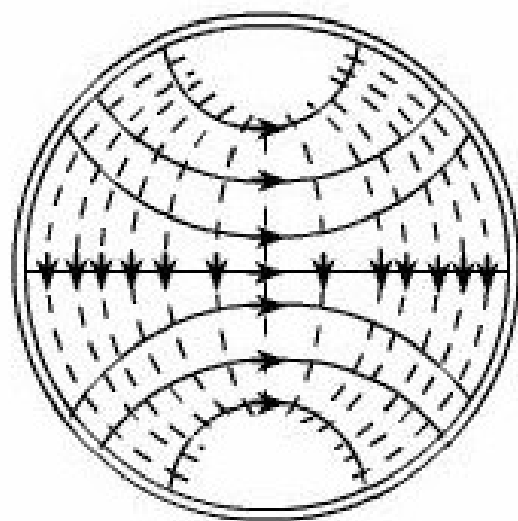
TE<sub>11</sub>波 (主型波) 的截止波长最长,  $\lambda_c|_{TE_{11}} = 3.41a$

其次是TM<sub>01</sub>波, 截止波长为  $\lambda_c|_{TM_{01}} = 2.61a$

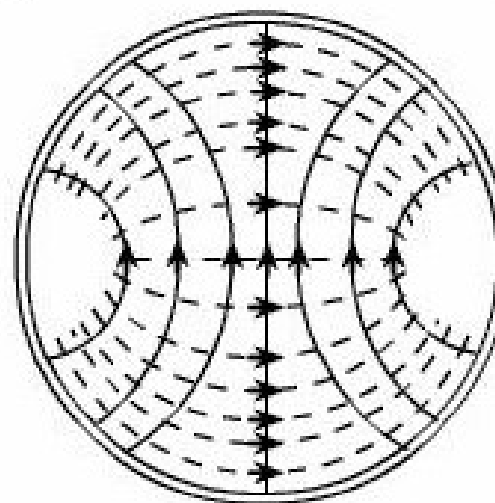
在圆波导中实现TE<sub>11</sub>波单模传播的波长范围是:  $2.61a < \lambda < 3.41a$



## TE<sub>11</sub>主型模



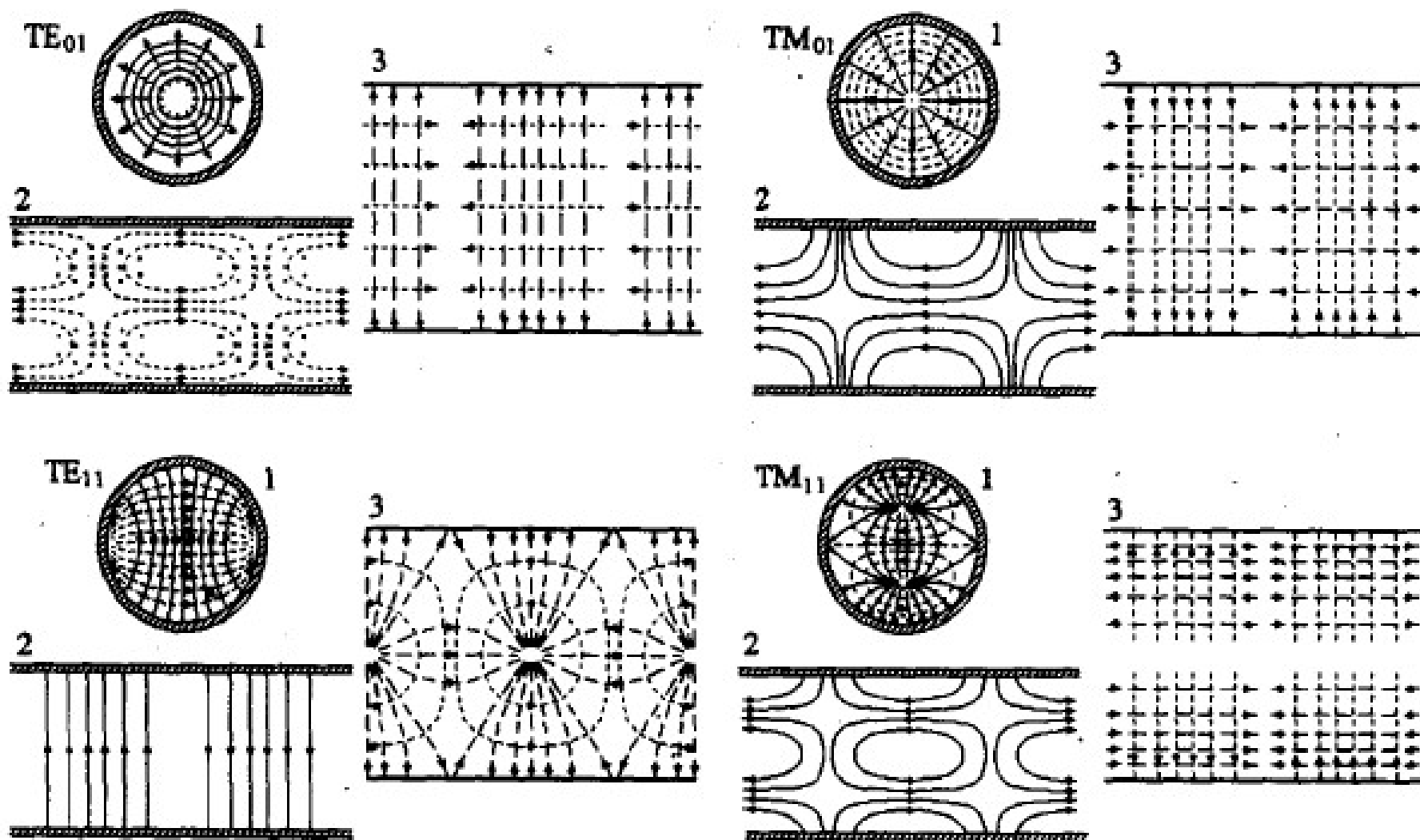
(a) 水平极化波



(b) 垂直极化波

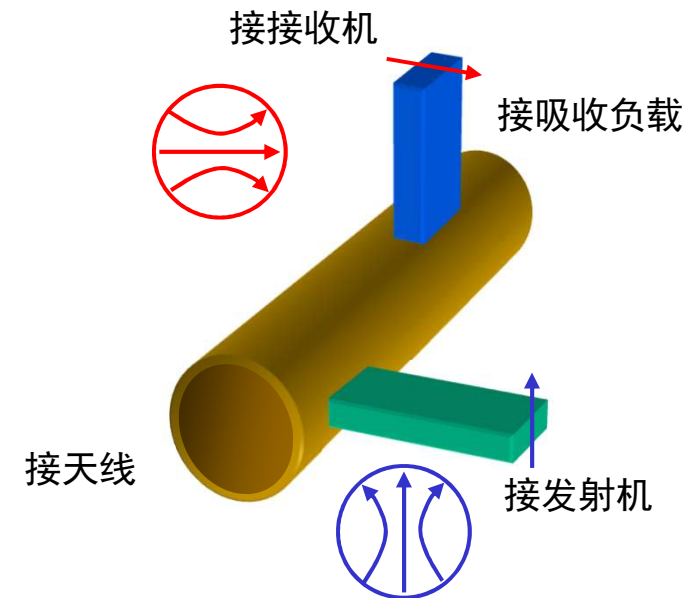
— 电力线  
-- 磁力线



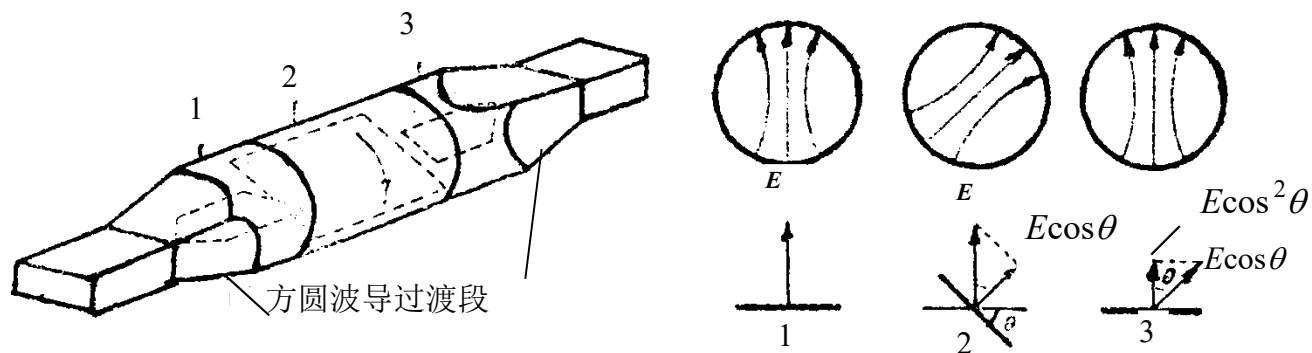


## 圆波导的应用：

微波通信收发公用天线中的极化分离器



极化衰减器



衰减量只与 $\theta$ 有关：

绝对定标、频带宽

$$A = 20 \lg \frac{E_{\text{输入}}}{E_{\text{输出}}} = 20 \lg \frac{E}{E \cos^2 \theta} = 40 \lg (\sec \theta)$$



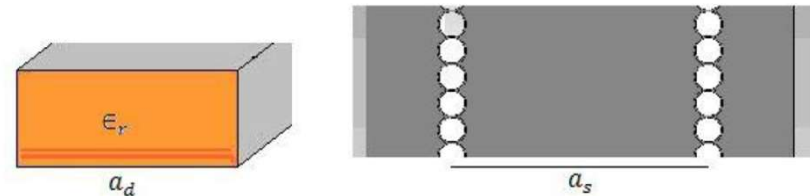
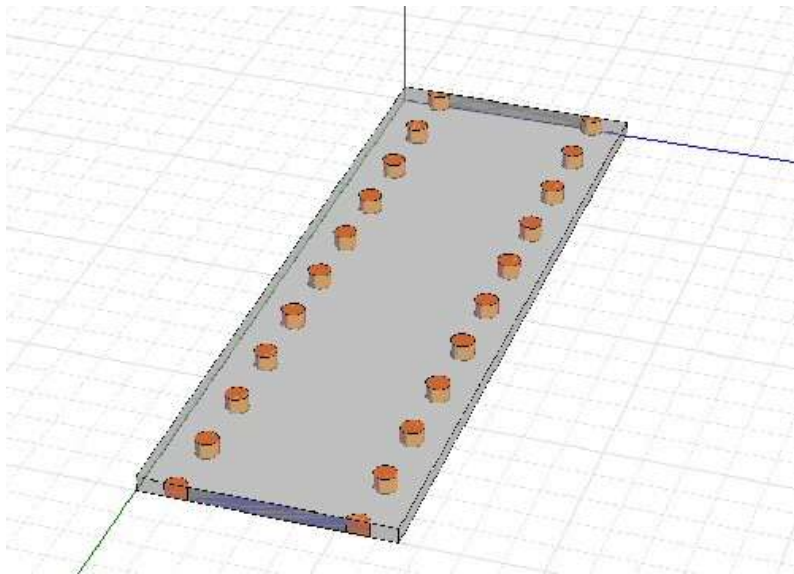
## 2. 椭圆波导

广泛用于雷达和通信系统的天线馈线，极化稳定，易于与矩形波导和圆波导连接。

## 3. 过尺寸波导

横向尺寸比单模波导大得多的波导，可传输高次模式，毫米、亚毫米波段。

## 4. 基片集成波导 (SIW)



类似介质填充波导（但不支持TM模）

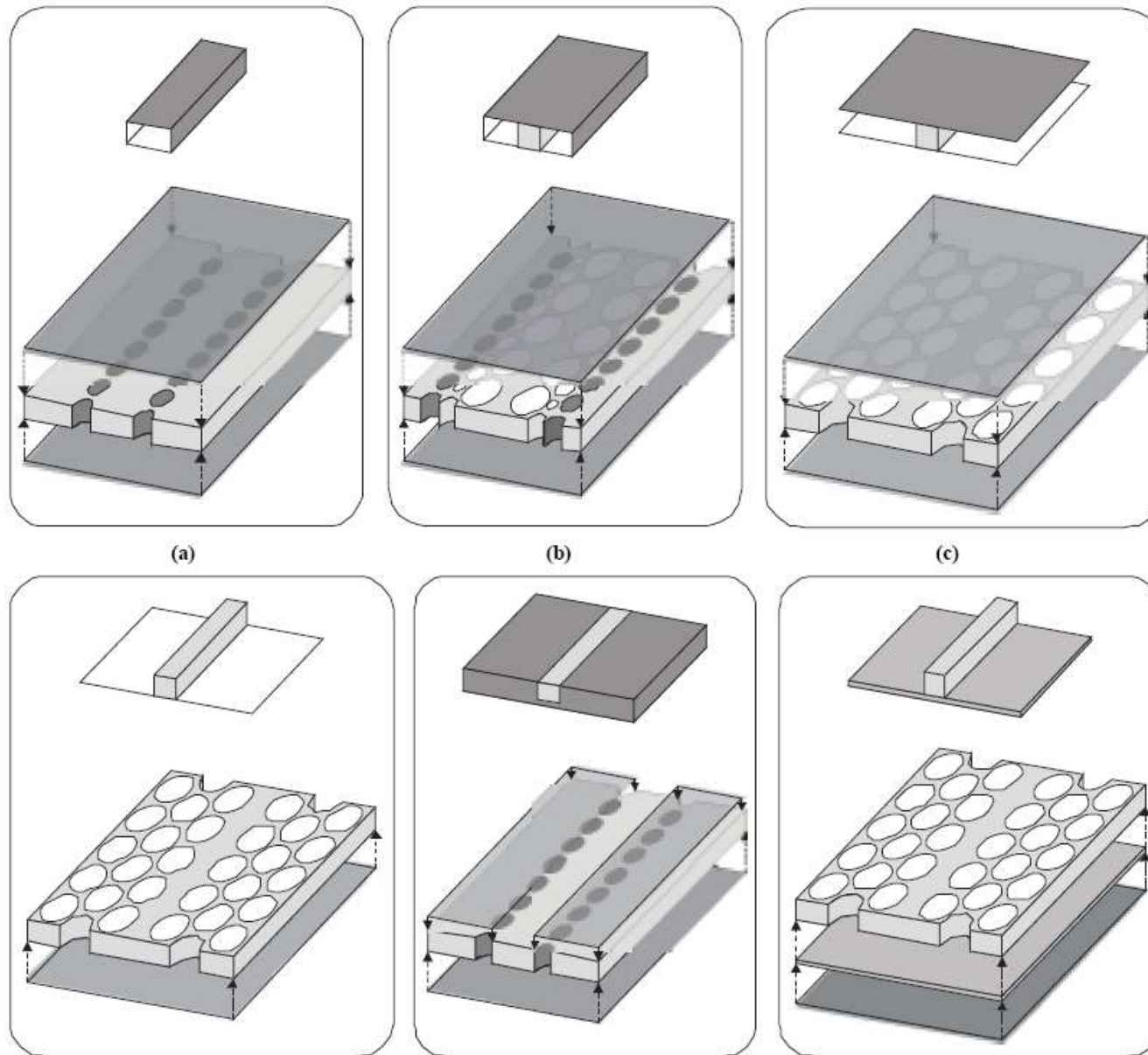
TE01模式：  $f_c = c/2a_d$      $a_d = a/\sqrt{\epsilon_r}$

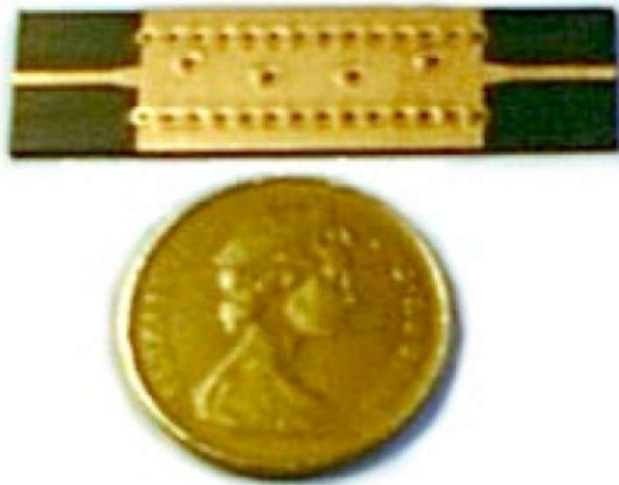
$$a_s = a_d + d^2/0.95p$$

$P$  为通孔间距,  $d$  为通孔直径

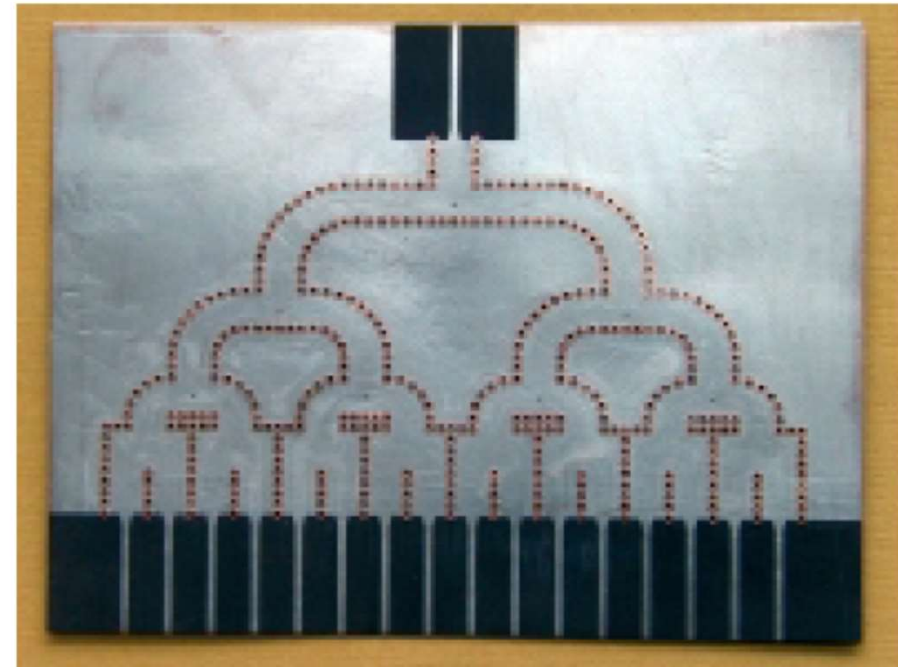








(a)



(b)

Fig. 4 – Two practical SIW circuits examples: (a) an SIW Inductive post filter with microstrip transitions, and (b) an SIW 1:16 power divider with microstrip input/output interfaces.



### 5.3 同轴线

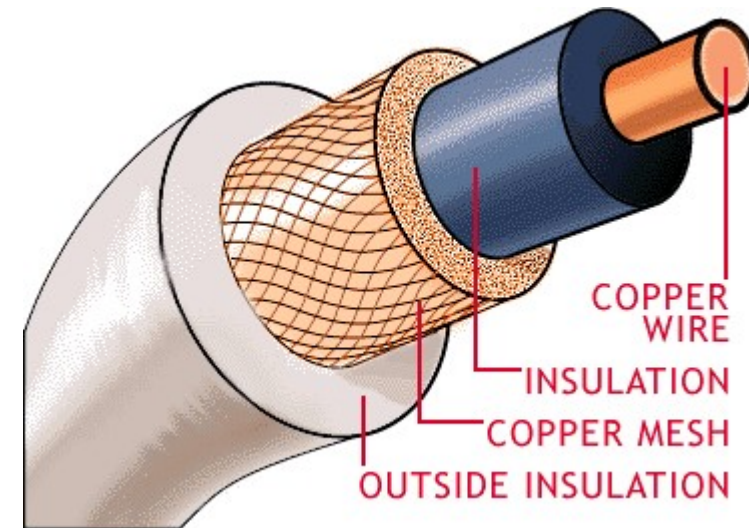
同轴线是一种双导体导波系统。

可以传输TEM型波，是一种应用广泛的宽频带馈线。

(DC-毫米波段)

但当其横向尺寸可与工作波长相比拟时，也会出现TE模和TM模，它们是同轴线的高次模。

主要研究TEM模特性。



## 1. TEM波

对同轴线的TEM模,  $E_z = H_z = 0$  , 它的横向场:

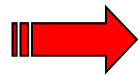
$$E_T(\rho, \varphi, z) = E_{OT}(\rho, \varphi)e^{-j\beta z}$$

而  $\nabla_T \times E_{OT} = -j\omega \mu H_z \mathbf{e}_z = 0$  , 于是  $E_{OT}(\rho, \varphi)$  可用标量势函数  $\Phi(\rho, \varphi)$  的梯度表示:

$$E_{OT}(\rho, \varphi) = -\nabla_T \Phi(\rho, \varphi)$$

又因为  $\nabla \cdot E_T = 0$  , 所以势函数  $\Phi(\rho, \varphi)$  满足拉普拉斯方程:

$$\nabla_T^2 \Phi(\rho, \varphi) = 0$$

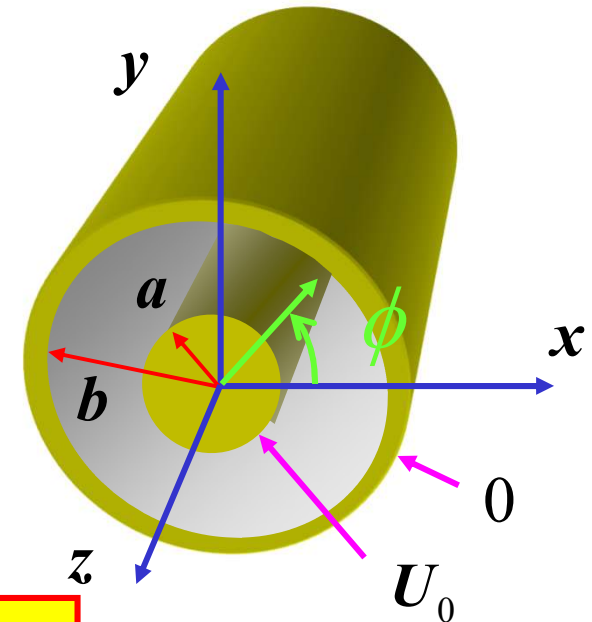


$$\frac{1}{\rho} \frac{\partial}{\partial \rho} \left( \rho \frac{\partial \Phi}{\partial \rho} \right) + \frac{1}{\rho^2} \frac{\partial^2 \Phi}{\partial \varphi^2} = 0$$

设边界条件为:

$$\begin{cases} \Phi(a, \varphi) = U_0 \\ \Phi(b, \varphi) = 0 \end{cases}$$

$$\nabla_T \times E_T = \left( \frac{\partial}{\partial x} E_y - \frac{\partial}{\partial y} E_x \right) \hat{\mathbf{e}}_z$$



用分离变量法，令：  $\Phi(\rho, \varphi) = P(\rho)F(\varphi)$

$$\frac{\rho}{P(\rho)} \frac{\partial}{\partial \rho} \left( \rho \frac{\partial P(\rho)}{\partial \rho} \right) + \frac{1}{F(\varphi)} \frac{\partial^2 F(\varphi)}{\partial \varphi^2} = 0$$

$$k_\rho^2 + k_\varphi^2 = 0$$

$$\frac{\rho}{P(\rho)} \frac{d}{d\rho} \left( \rho \frac{dP(\rho)}{d\rho} \right) = -k_\rho^2$$

$$\frac{1}{F(\varphi)} \frac{d^2 F(\varphi)}{d\varphi^2} = -k_\varphi^2$$

一般解为：  $F(\varphi) = A \cos n\varphi + B \sin n\varphi$   $\Rightarrow k_\varphi = n$  必须是整数。

考虑到边界条件不随  $\varphi$  变化，  $n=0$  。 所以  $k_\rho = 0$   $F(\varphi) = A$

$$\frac{d}{d\rho} \left( \rho \frac{dP(\rho)}{d\rho} \right) = 0$$

$$\Rightarrow P(\rho) = C \ln \rho + D$$

$$\Phi(\rho, \varphi) = A(C \ln \rho + D) = C_1 \ln \rho + C_2$$

$$\begin{cases} \Phi(a, \varphi) = U_0 = C_1 \ln a + C_2 \\ \Phi(b, \varphi) = 0 = C_1 \ln b + C_2 \end{cases}$$

$$\Rightarrow \Phi(\rho, \varphi) = U_0 \frac{\ln(b/\rho)}{\ln(b/a)}$$

横向电场为：

$$E_{oT}(\rho, \varphi) = -\nabla_T \Phi(\rho, \varphi) = - \left( \frac{\partial \Phi(\rho, \varphi)}{\partial \rho} \mathbf{e}_\rho + \frac{\partial \Phi(\rho, \varphi)}{\rho \partial \varphi} \mathbf{e}_\varphi \right) = \frac{U_0}{\rho \ln \frac{b}{a}} \mathbf{e}_\rho$$





电场为：

$$E(\rho, \varphi, z) = E_{OT}(\rho, \varphi) e^{-j\beta z} = \frac{U_0 e^{-j\beta z}}{\rho \ln \frac{b}{a}} \mathbf{e}_\rho$$

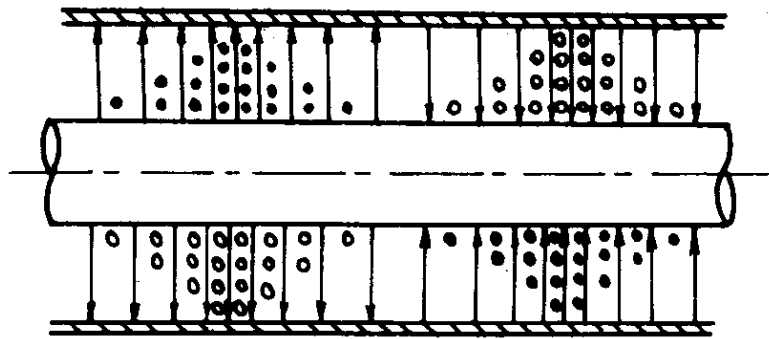
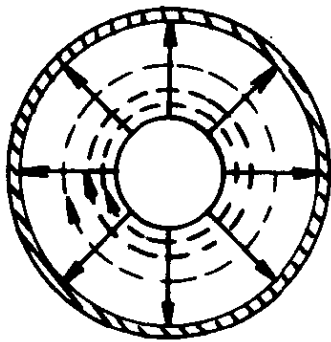
式中传播常数：

$$\beta = k = \omega \sqrt{\mu \varepsilon}$$

横向磁场，可表示为：

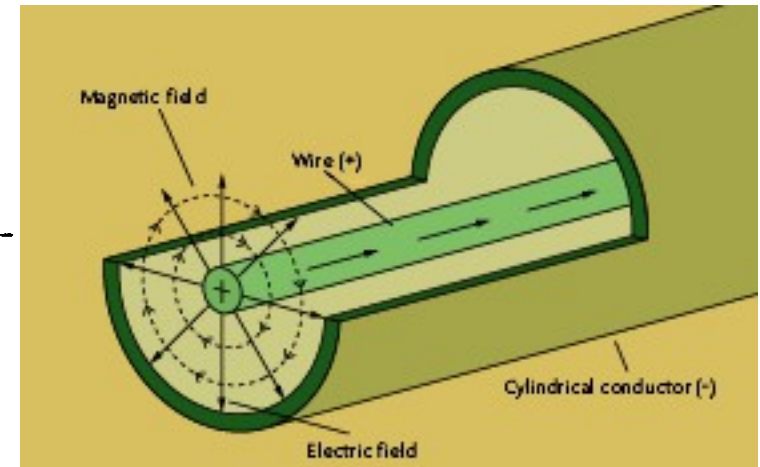
$$H(\rho, \varphi, z) = \frac{1}{\eta} \mathbf{e}_z \times \mathbf{E}_{OT}(\rho, \varphi) e^{-j\beta z} = \frac{U_0 e^{-j\beta z}}{\eta \rho \ln \frac{b}{a}} \mathbf{e}_\varphi$$

式中  $\eta = \sqrt{\frac{\mu}{\varepsilon}} = \frac{120\pi}{\sqrt{\varepsilon_r}}$  为波阻抗。



同轴线 TEM 导模场结构

$\rightarrow E$ ;  $\cdots \rightarrow H$



## 2. 传输特性

### a. 相速和波导波长

对TEM模，截止频率  $f_c = 0$ ，截止波长  $\lambda_c = \infty$ 。相位常数  $\beta = \omega\sqrt{\mu\varepsilon}$ 、相速  $v_p$  与群速  $v_g$  之间满足如下关系：

$$v_p = v_g = \frac{c}{\sqrt{\varepsilon_r}}$$

导波波长：

$$\lambda_g = \lambda = \frac{\lambda_0}{\sqrt{\varepsilon_r}}$$

### b. 特性阻抗

特性阻抗定义为线上行波电压  $U$  和行波电流  $I$  之比。

行波电压：

$$U = \int_a^b E_\rho d\rho = \frac{U_0}{\ln \frac{b}{a}} \left( \ln \frac{b}{a} \right) e^{-j\beta z} = U_0 e^{-j\beta z}$$

内导体上的总电流：

$$I = \int_0^{2\pi} a H_\varphi d\varphi = \frac{2\pi U_0}{\eta \ln \frac{b}{a}} e^{-j\beta z}$$

特性阻抗：

$$Z_0 = \frac{U}{I} = \frac{\eta \ln \frac{b}{a}}{2\pi} = \frac{60}{\sqrt{\varepsilon_r}} \ln \frac{b}{a} \quad (\Omega)$$





## c. 衰减常数

$$\alpha = \alpha_c + \alpha_d = \frac{R_0}{2Z_0} + \frac{G_0 Z_0}{2} \quad (\text{Np/m})$$

分布电阻:  $R_0 = \frac{1}{\sigma s_1} + \frac{1}{\sigma s_2} = \frac{1}{\sigma} \left( \frac{1}{2\pi b \delta} + \frac{1}{2\pi a \delta} \right) = \frac{R_s}{2\pi} \left( \frac{1}{b} + \frac{1}{a} \right)$

式中  $R_s = \frac{1}{\sigma \delta} = \sqrt{\frac{\omega \mu}{2\sigma}}$  是导体的表面电阻。

在同轴线中半径为  $\rho$ 、厚度为  $d\rho$  的单位长度的介质中的漏电阻为

$$dR_d = \frac{1}{\sigma_d} \frac{d\rho}{2\pi\rho}, \quad \text{所以同轴线单位长度的漏电阻等于:}$$

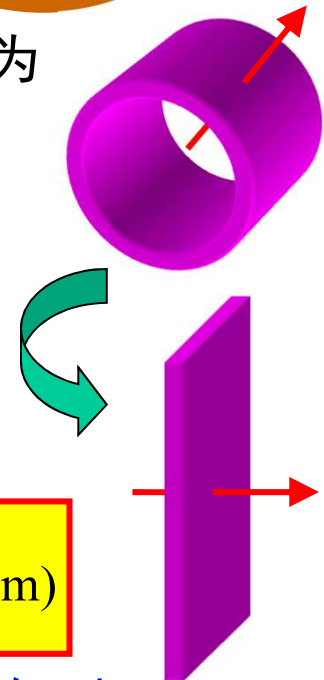
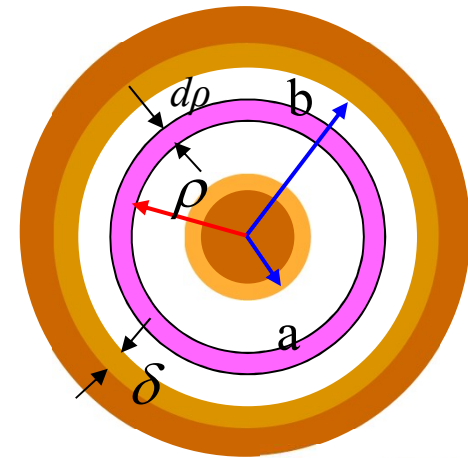
$$R_d = \int_a^b dR_d = \frac{1}{2\pi\sigma_d} \int_a^b \frac{d\rho}{\rho} = \frac{1}{2\pi\sigma_d} \ln \frac{b}{a}$$

即同轴线的单位长度分布电导为:  $G_0 = \frac{1}{R_d} = \frac{2\pi\sigma_d}{\ln \frac{b}{a}}$

$$\alpha_c = \frac{R_s}{2\eta \ln \frac{b}{a}} \left( \frac{1}{b} + \frac{1}{a} \right) \quad (\text{Np/m})$$

$$\alpha_d = \frac{\sigma_d \eta}{2} = \frac{\omega \sqrt{\mu \epsilon}}{2} \tan \delta \quad (\text{Np/m})$$

式中  $\tan \delta = \frac{\sigma_d}{\omega \epsilon}$  是介质损耗角的正切。



$$\alpha_d = \frac{\pi \sqrt{\epsilon_r}}{\lambda_0} \tan \delta \quad (\text{Np/m})$$

同轴线的导体损耗与工作频率有关 ( $R_s$ )，也和它的尺寸有关。

在外径  $b$  一定时，由  $\partial \alpha_c / \partial a = 0$  可求得空气同轴线导体损耗最小的尺寸为：  
 $\frac{b}{a} = 3.591$

与它相应的空气同轴线特性阻抗等于  $76.71\Omega$ 。

同轴线的介质损耗与它的尺寸无关，而决定于填充介质的特性，并与工作波长成反比。空气填充时，介质损耗可忽略。

#### d. 传输功率

同轴线中的电场和磁场为：

$$\begin{cases} \mathbf{E} = \frac{U_0}{\rho \ln \frac{b}{a}} e^{-j\beta z} \mathbf{e}_\rho \\ \mathbf{H} = \frac{U_0}{\eta \rho \ln \frac{b}{a}} e^{-j\beta z} \mathbf{e}_\varphi \end{cases}$$

同轴线的传输功率

$$P = \frac{1}{2} \int (\mathbf{E} \times \mathbf{H}^*) \cdot d\mathbf{s} = \frac{1}{2\eta} \int_a^b \int_0^{2\pi} \frac{U_0^2}{\rho \ln^2(b/a)} d\varphi d\rho = \frac{\pi U_0^2}{\eta \ln(b/a)}$$



由于在同轴线中最大电场出现在内导体表面 ( $\rho = a$ ) 处, 其值为  $E_{max} = \frac{U_0}{a \ln(b/a)}$ , 因而  $U_0$  和  $P$  可表示为:

$$\begin{cases} U_0 = a E_{max} \ln \frac{b}{a} \\ P = \frac{\pi a^2}{\eta} E_{max}^2 \ln \frac{b}{a} \end{cases}$$

当同轴线中最大电场等于介质的击穿场强  $E_{max} = E_{br}$  时, 它所对应的电压和传输功率就分别等于同轴线的耐压  $U_{br}$  和功率容量  $P_{br}$ , 于是

$$\begin{cases} U_{br} = a E_{br} \ln \frac{b}{a} \\ P_{br} = \frac{\pi a^2}{\eta} E_{br}^2 \ln \frac{b}{a} = \frac{\sqrt{\epsilon_r} a^2}{120} E_{br}^2 \ln \frac{b}{a} \end{cases}$$

对给定最大工作频率:

$$P_{max} = \frac{5.8 \times 10^{12} E_{br}^2}{f_{max}^2}$$

例如10GHz时无高次模的任意同轴线最大的峰功率容量约为520kW。通常取最大功率的四分之一为实用功率容量。由  $\partial P_{max} / \partial a = 0$  (固定b值不变), 可求得功率容量最大时的尺寸条件:

$$\frac{b}{a} = 1.649$$

### 3. 同轴线中的高次模和尺寸选择

最低次  $TM_{01}$  模的截止波长近似值:

$$\lambda_{cTM_{01}} \cong 2(b - a)$$

$TE_{11}$  模的截止波长近似值为:

$$\lambda_{cTE_{11}} \cong \pi(b + a)$$



为了保证同轴线中只传输TEM模， $\lambda_{\min} > \pi(b + a)$

在应用中，一般取  $\lambda_{\min} \geq 1.1\pi(b + a)$  为最短安全波长。如果工作波长已知，则同轴线的尺寸必须满足：

$$(b + a) \leq \frac{\lambda_{\min}}{1.1\pi}$$

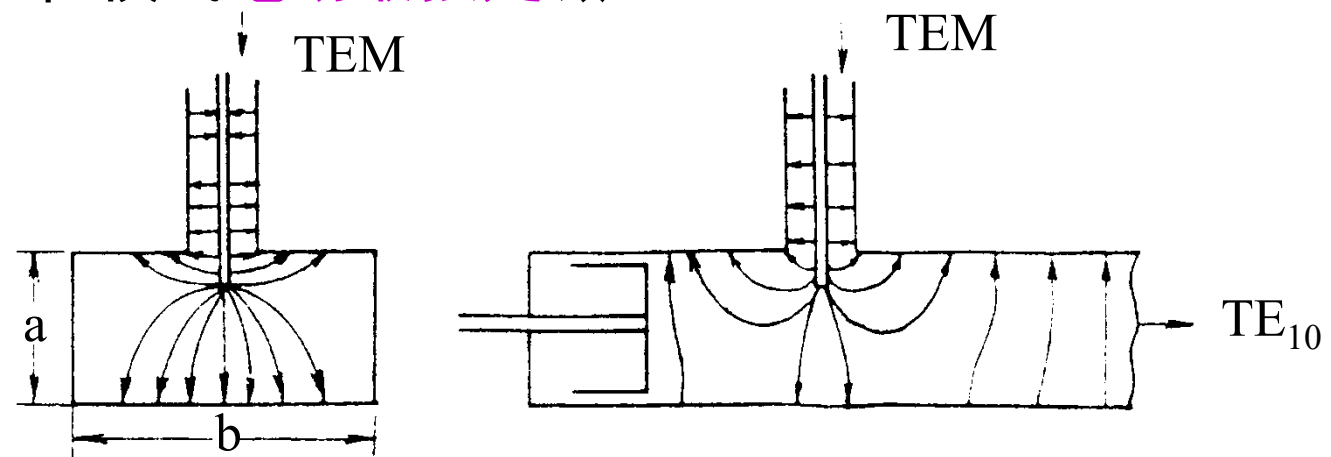
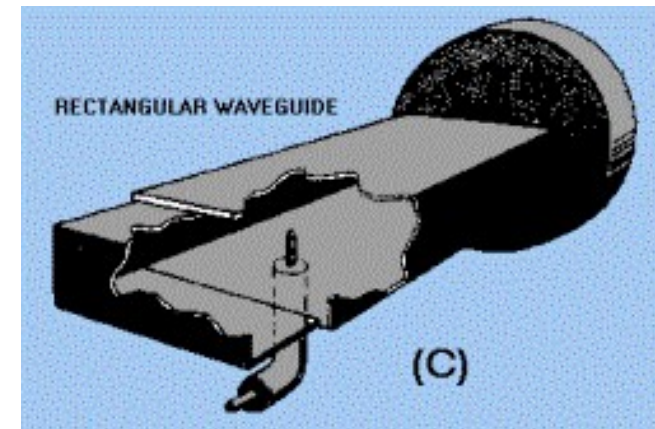


## 5.4 波导的激励方法

波导的激励本质是电磁波的辐射。  
 波导中的传播模式，即取决于传输条件  $\lambda < \lambda_c$ ，也取决于激励方法。  
 激励的结果要利于产生所要模式并尽量避免不需要的模式。

### 1. 探针激励

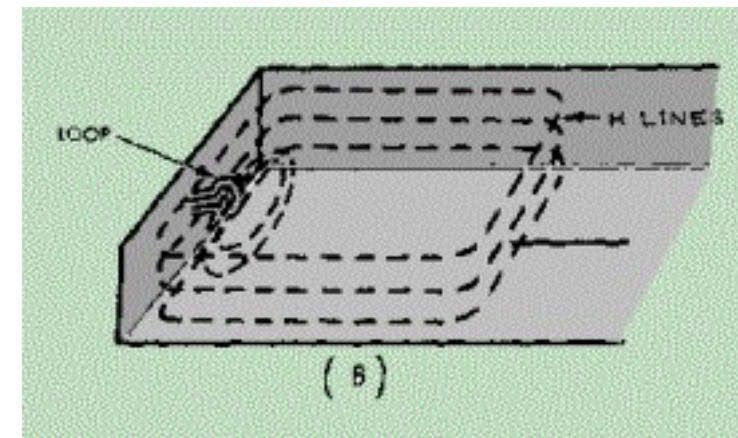
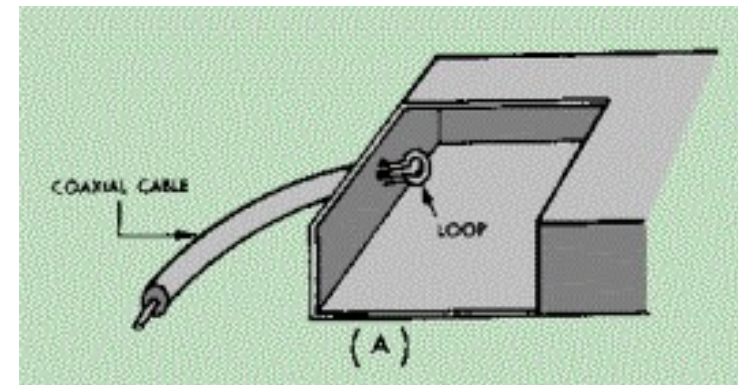
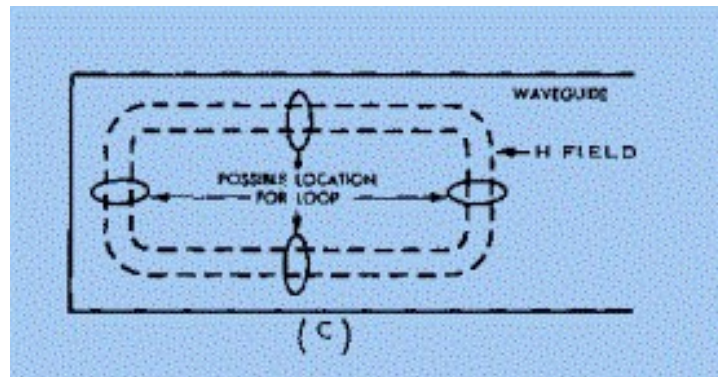
电场激励方法，在模式电场最强处激励。



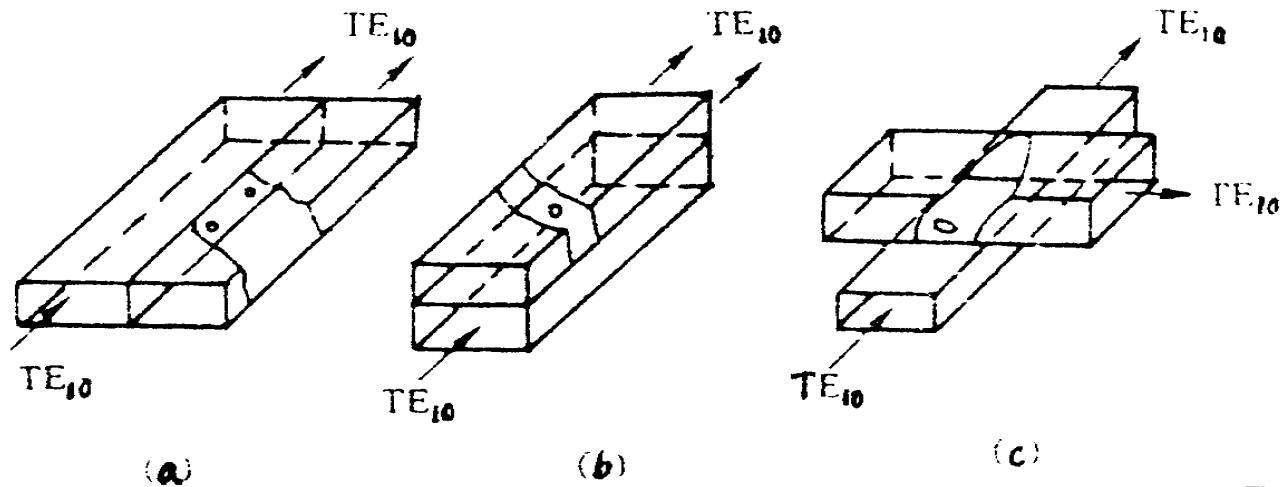


## 2. 环激励

磁场激励方法，在模式  
磁场最强处激励。环法向  
平行磁力线

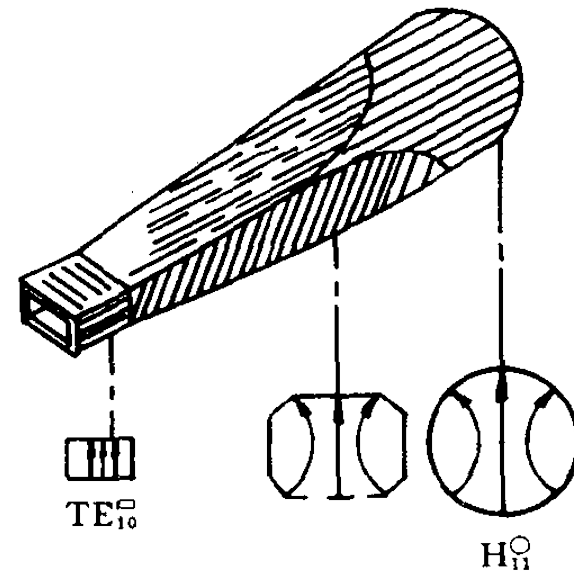


### 3. 孔或缝激励



### 4. 直接过渡

矩形波导型波到圆波导型波的过渡段





# Homework

5-3, 5-4, 5-7, 5-8, 5-9

